



基于铌酸锂薄膜波导的时间-能量复用双光子纠缠产生

谢臻达、蔡鑫伦、龚彦晓、胡小鹏、祝世宁

南京大学固体微结构国家重点实验室

中山大学光电材料与技术国家重点实验室

slab.nju.edu.cn



扫描全能王 创建

基于铌酸锂薄膜波导的时间-能量复用双光子纠缠产生

谢臻达、蔡鑫伦、龚彦晓、胡小鹏、祝世宁

南京大学固体微结构国家重点实验室

中山大学光电材料与技术国家重点实验室

slab.nju.edu.cn



扫描全能王 创建

背景介绍

将红宝石 694 nm 激光聚焦到石英晶体上产生 347 nm 紫外光，但效率很低。

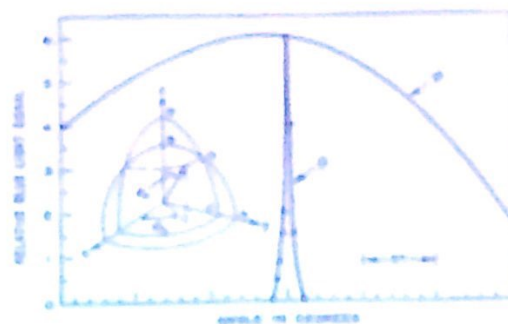
(Peter Franken *et al.* 1961)



$$I_{2\omega} = \beta I_{\omega} \sin^2 \left(\frac{\Delta k L}{2} \right), \quad k = \frac{2\pi \cdot n}{\lambda}$$

$$\begin{cases} \Delta \omega = \omega_2 - 2\omega_1 = 0 \\ \Delta k = k_2 - 2k_1 = 0 \end{cases}$$

$$n_s(2\omega) = n_o(\omega)$$



P.D. Maker *et al.*, PRL 1962



扫描全能王 创建

准相位匹配和光学超晶格

PHYSICAL REVIEW

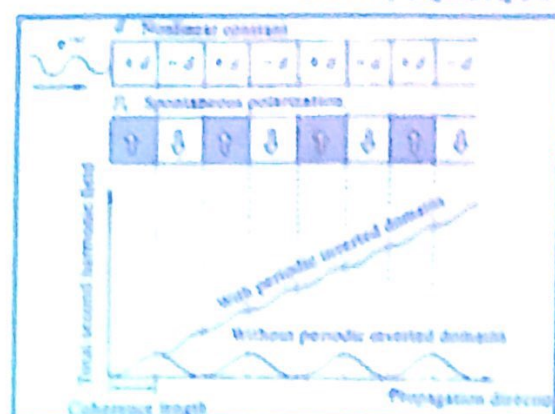
VOLUME 127, NUMBER 8

SEPTEMBER 1976

Interactions between Light Waves in a Nonlinear Dielectric*

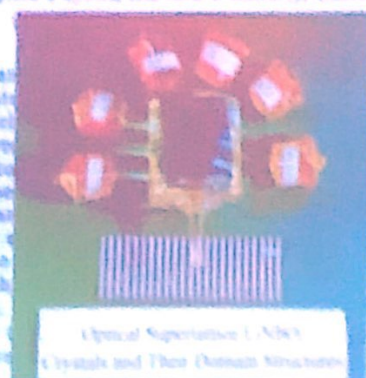
J. A. ARMSTRONG, N. BLOEMBERGEN, J. DUCLOS, and P. S. PRABHU

Division of Engineering and Applied Physics, Harvard University, Cambridge, Massachusetts



$$\begin{cases} \Delta \omega = \omega_2 - 2\omega_1 = 0 \\ \Delta k = k_2 - 2k_1 \quad G_m = 0 \end{cases}$$

$$G_m = 2\pi m \Lambda \quad \Lambda = \frac{\lambda}{2(n_{2m} - n_{1m})}$$



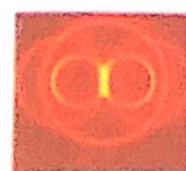
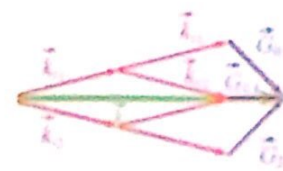
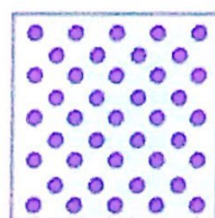
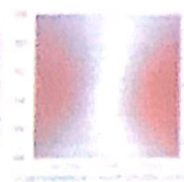
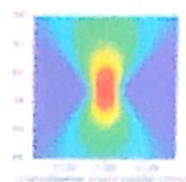
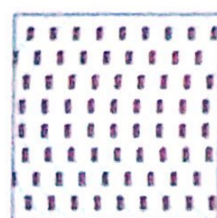
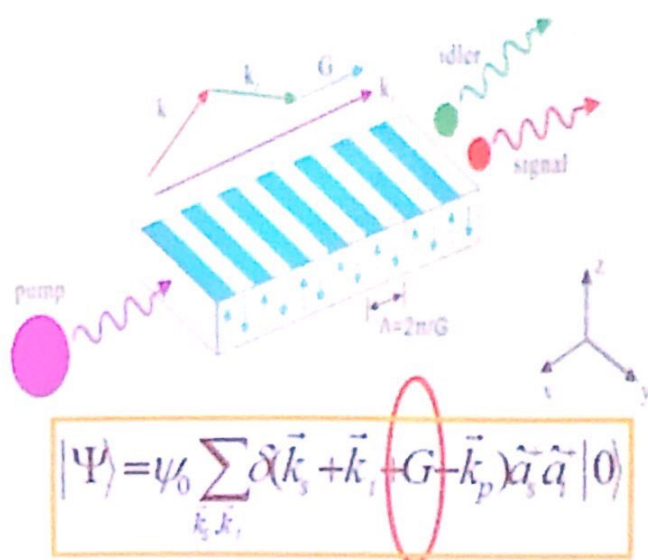
J. Mater. Sci. 17, 1063 (1982)
J. Appl. Phys. 77, 5481 (1995)
Appl. Phys. Lett. 68, 2781 (1995)
Science 278, 843 (1997)



扫描全能王 创建

光学超晶格中的光子态调控

自发参量下转换 (SPDC)



Phys. Rev. Lett. **101**, 233601 (2008)

Nat. Commun. **2**, 429 (2011)

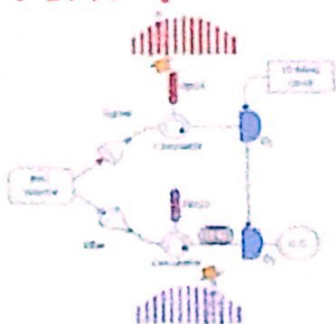
Phys. Rev. Lett. **111**, 023603 (2013)

...

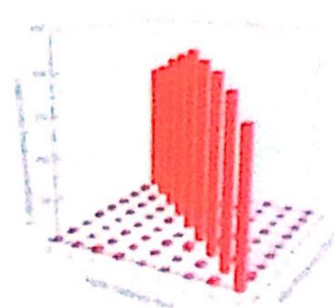
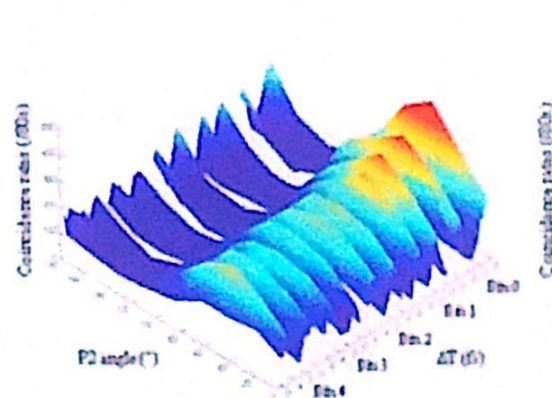


扫描全能王 创建

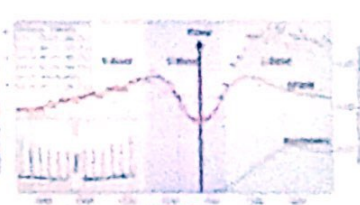
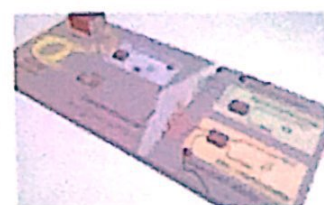
高效 (Photon-efficient) 量子编码——高维时间-能量纠缠



5 qubits/photon



Nature Photonics 9, 536 (2015)

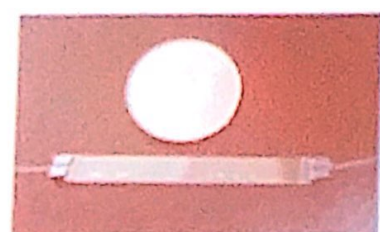


C. Reimer et al. Science 351, 1176 (2016)
 M. Kues et al. Nature 546, 622 (2017)
 C. Reimer et al. Nat. Phys. 15, 148 (2019)



扫描全能王 创建

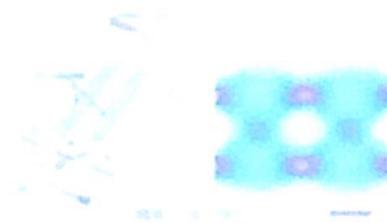
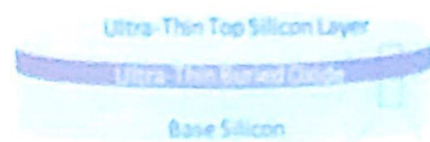
铌酸锂有源光量子芯片



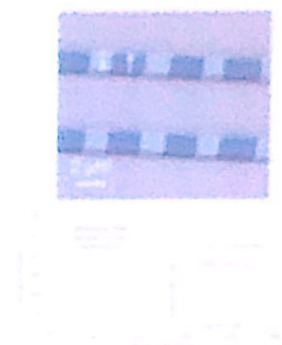
	LiNbO ₃ 微结构量子芯片	V.S.	SOI 量子芯片
输入功率 (mW)	0.039		15
操作频率	electro-optic ~40 GHz		heating ~kHz
片上光子产率 Hz nm ⁻² mW ⁻¹	1.1×10^5		2.7×10^3
尺寸 (mm)	10		5.2
纠缠光子频率范围	任意设计 演示108nm调谐		受相位匹配限制, 演示9.6nm调谐
	Phys. Rev. Lett. 113, 103601 (2014) 我们的工作		Nat. Photon. 8, 104 (2014)



新的发展——铌酸锂薄膜芯片



高速、低功耗电光调制器

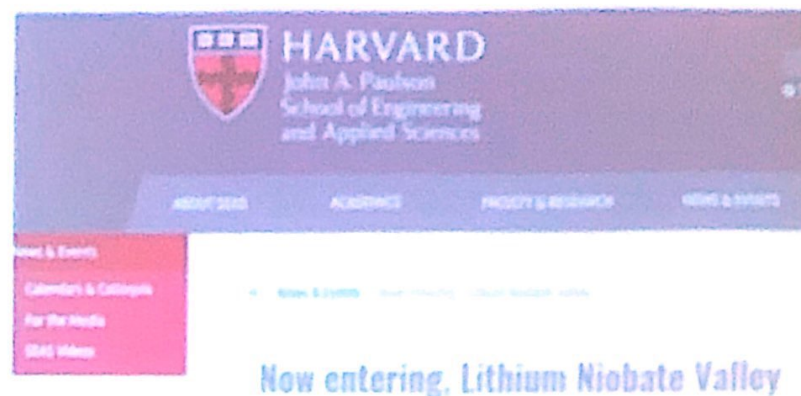


高效率倍频



光频梳产生

米级延时线

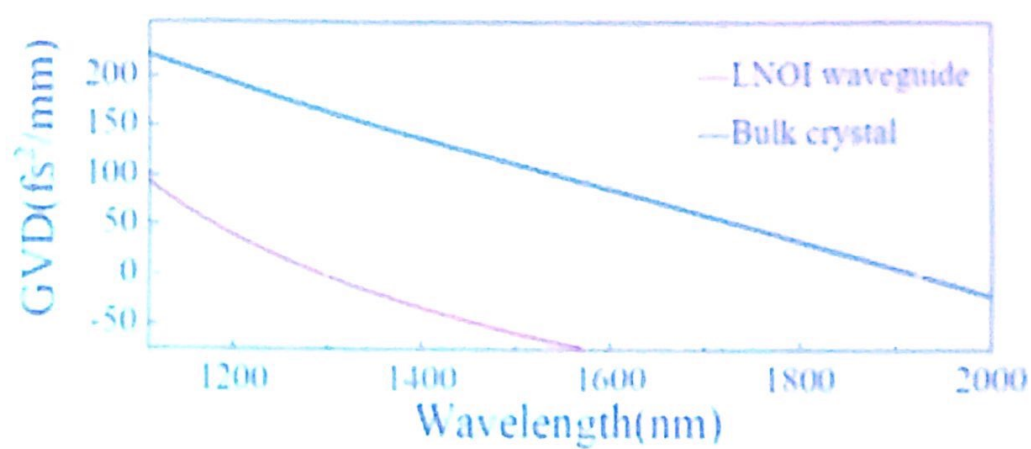
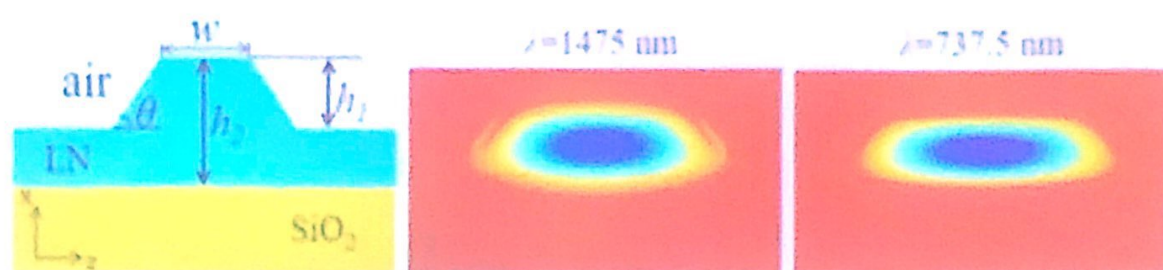


- C. Wang et al. Nature **562**, 101 (2018)
- M. He et al. Nat. photon. **13**, 359 (2019)
- C. Wang et al. Optica **5**, 1438 (2018)
- Y. He et al. Optica **6**, 1138 (2019)
- J. N. Zhou et al. Chinese Phys. Lett. **37**, 084201 (2020)

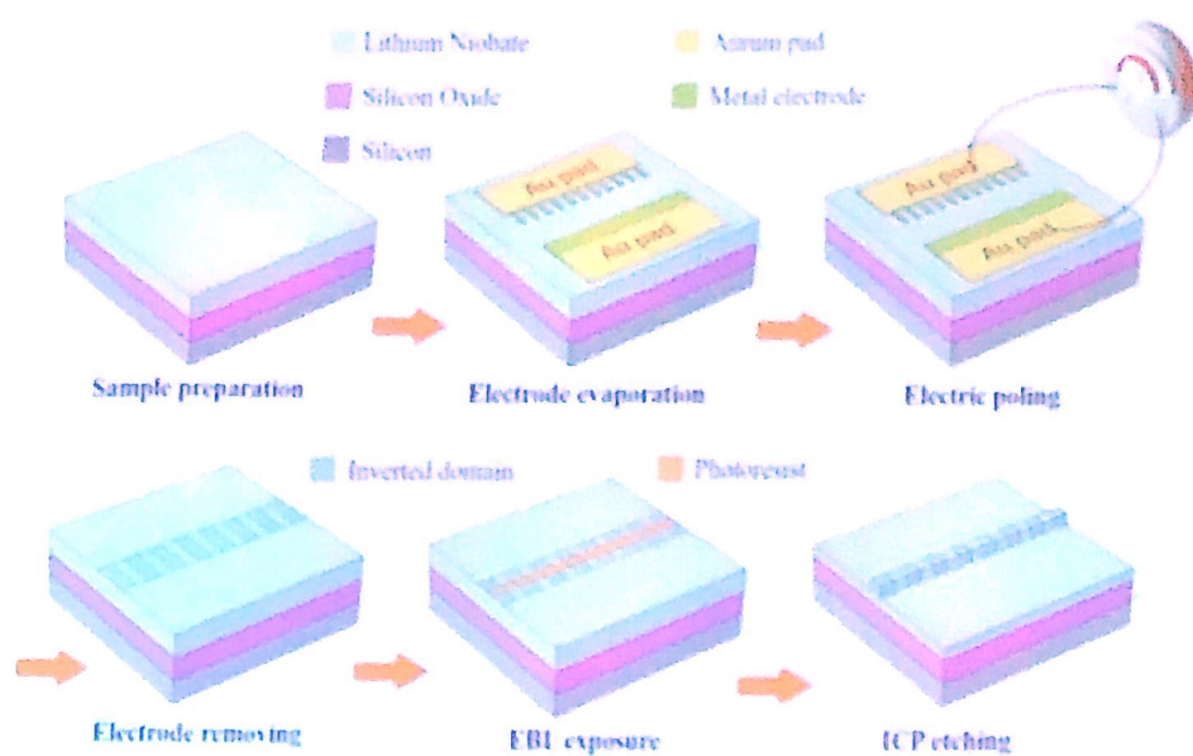


扫描全能王 创建

LNOI波导设计

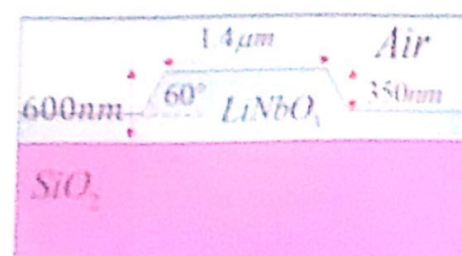
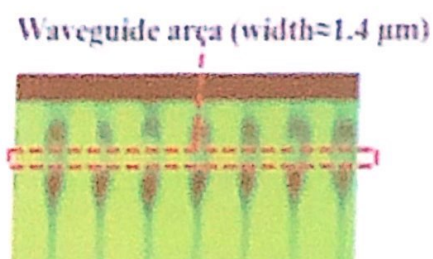
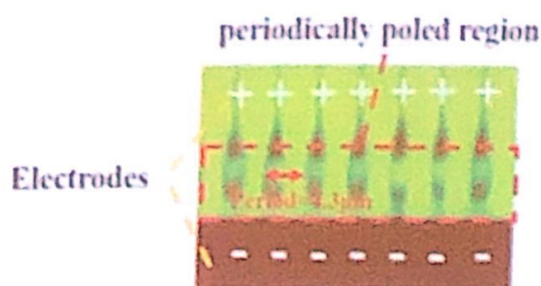
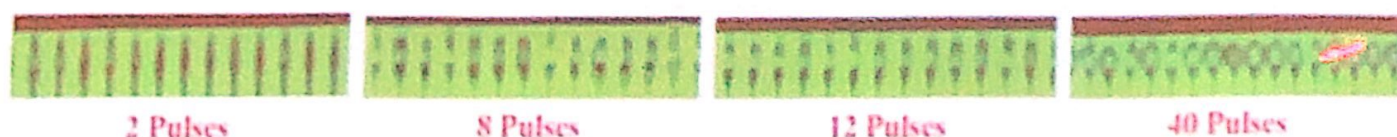


LNOI波导加工



LNOI波导加工

倍频共聚焦显微镜监控极化技术

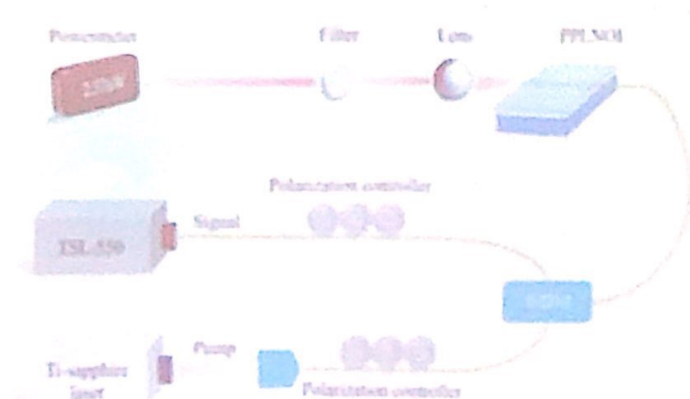


占空比: $\sim 50\%$

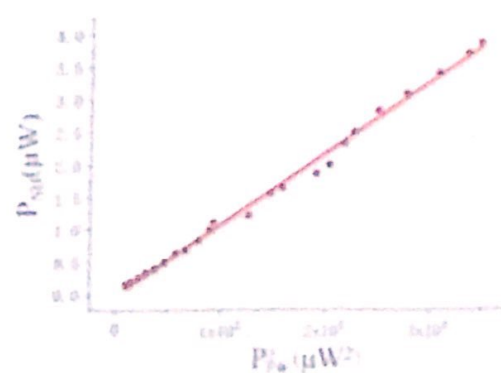
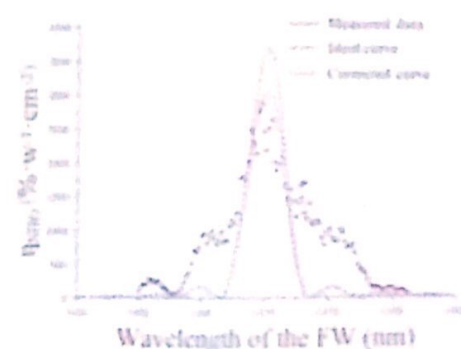


扫描全能王 创建

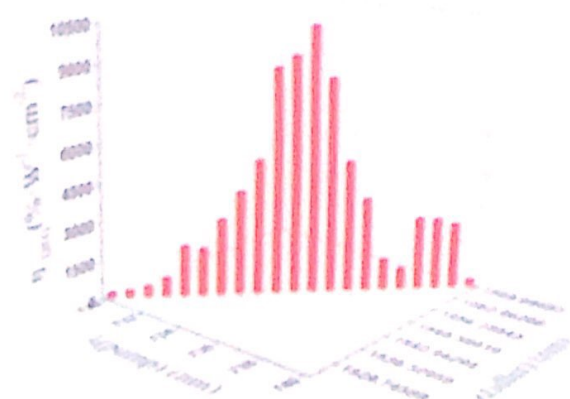
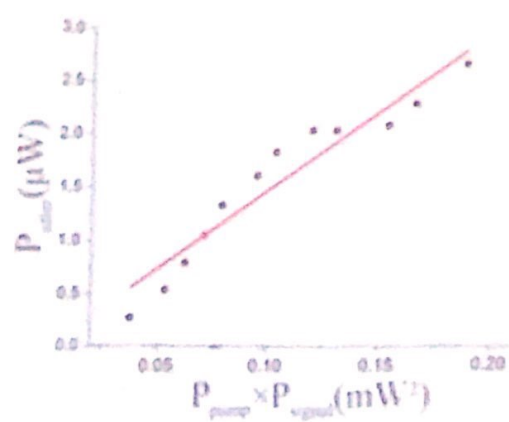
倍频测试



	波导长度	占空比	归一化倍频效率	
			实测值	实测值/理论值
哈佛大学 深堀组	4mm	30%	2600%/W·cm ²	~60%
清华大学 深堀组	6mm	~50%	3061%/W·cm ²	~60%

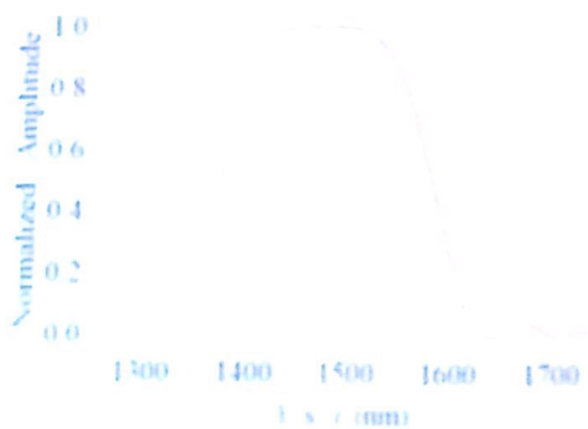


差频测试



SPDC光谱

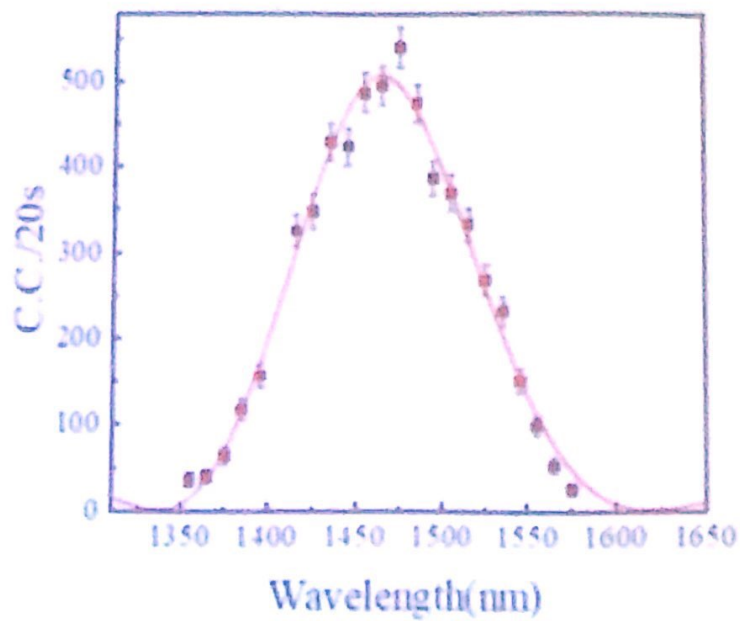
理论模拟



相位匹配带宽超过130nm

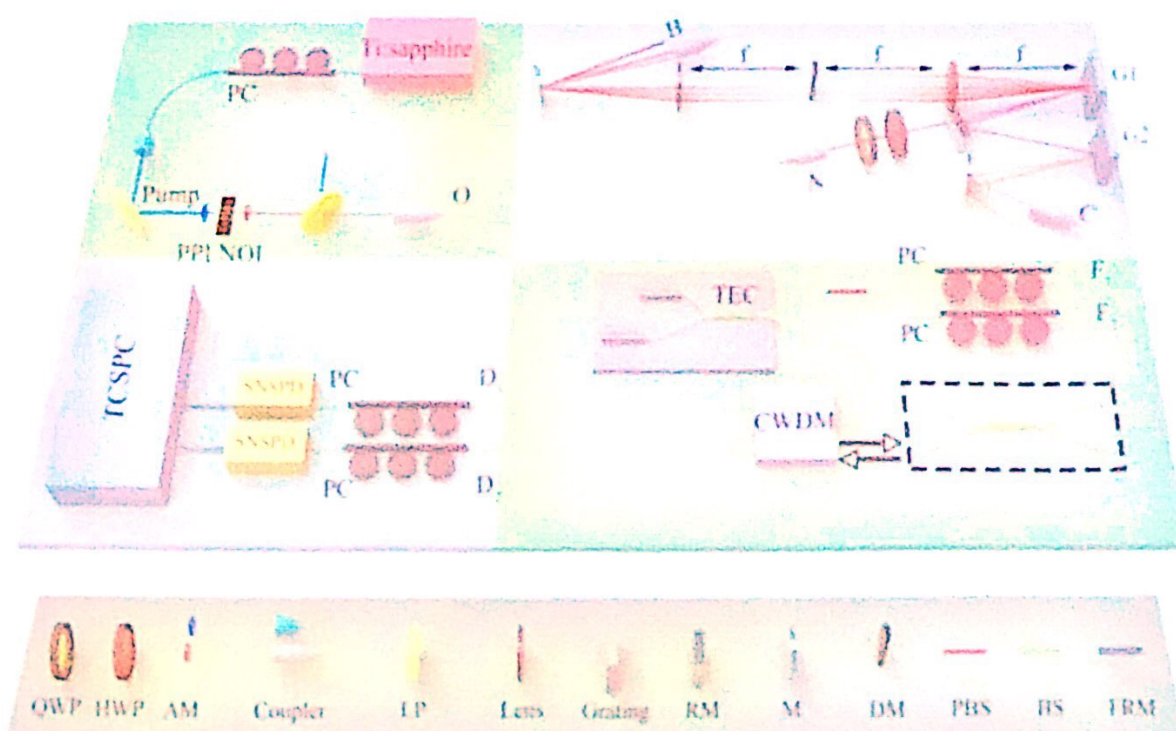
时间-能量复用 (>100通道DWDM)

实验测量



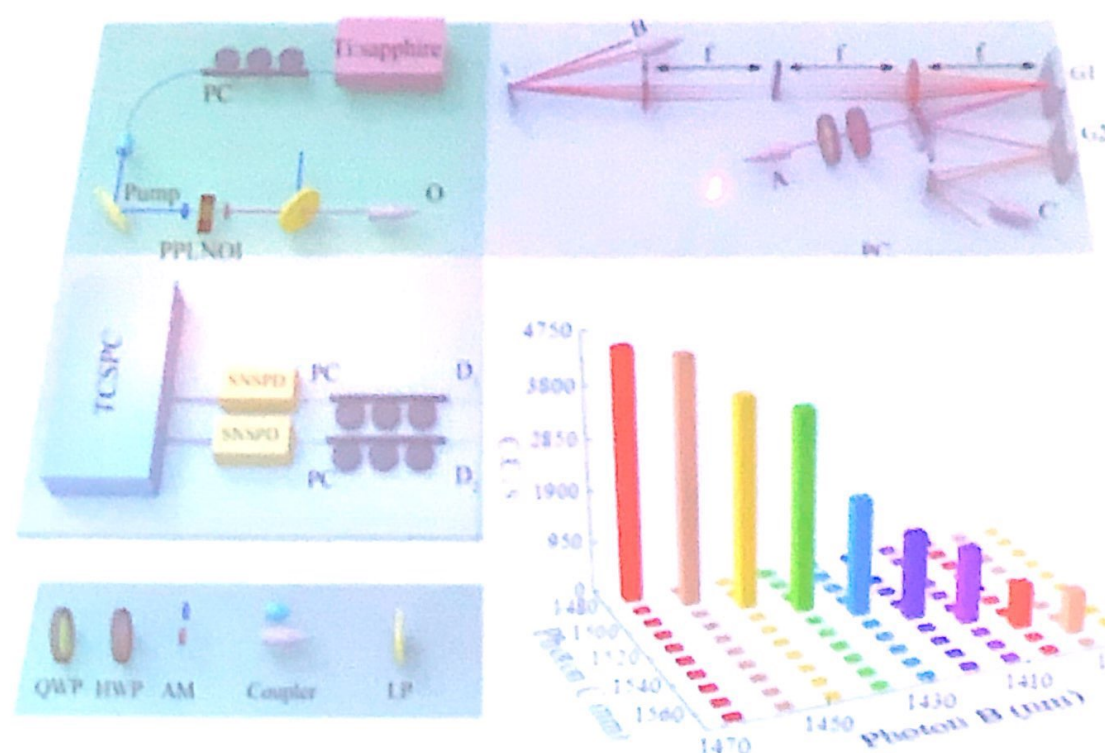
扫描全能王 创建

实验装置



扫描全能王 创建

频率关联测量

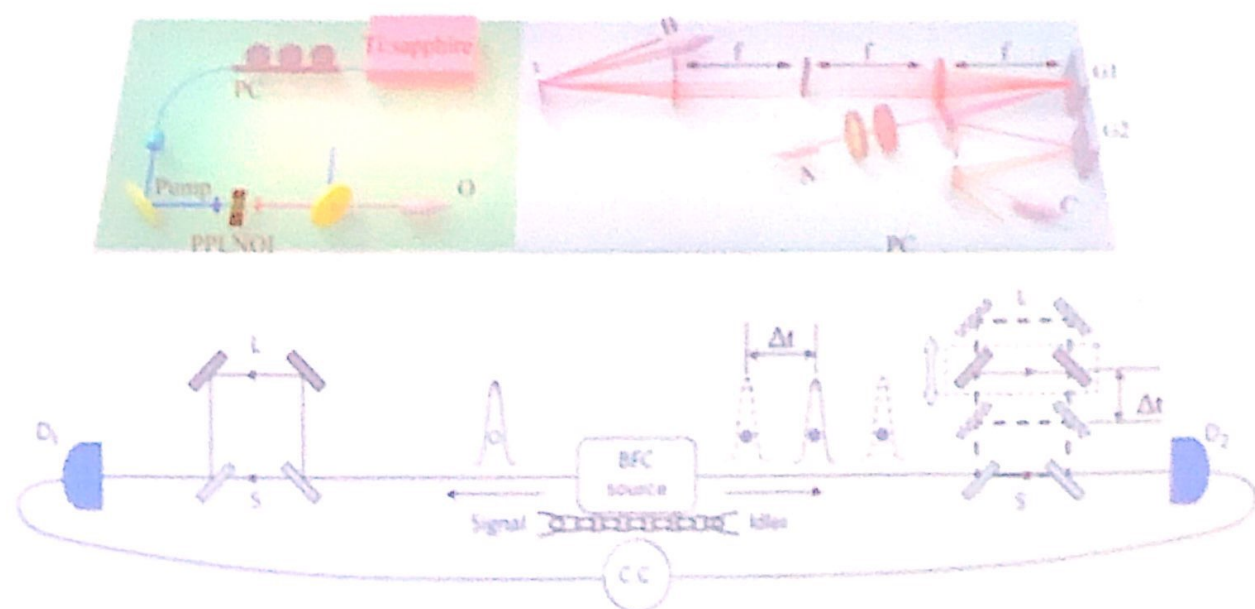


对比度: >32d

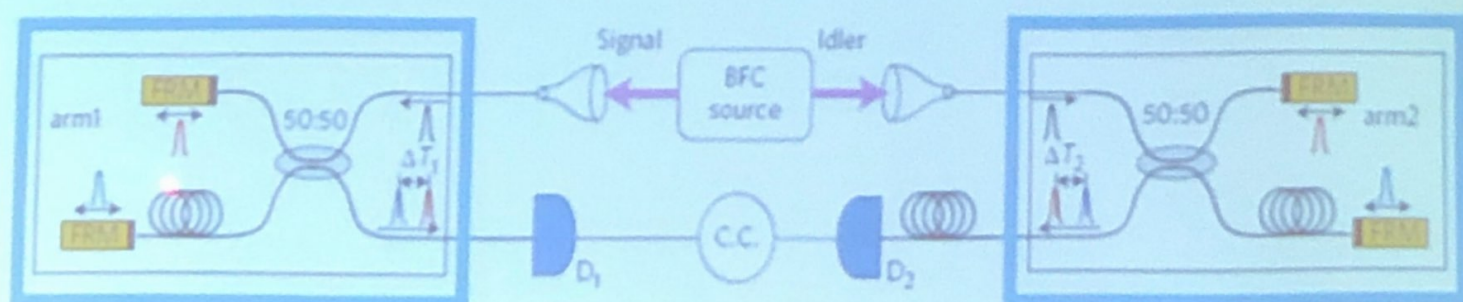
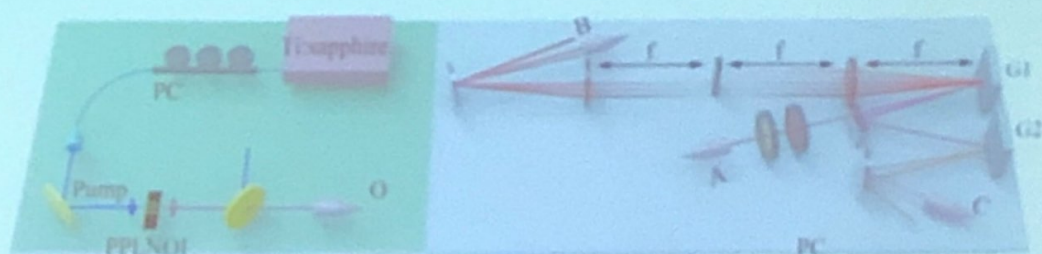


扫描全能王 创建

Franson干涉



Franson干涉



频率复用Franson干涉测量



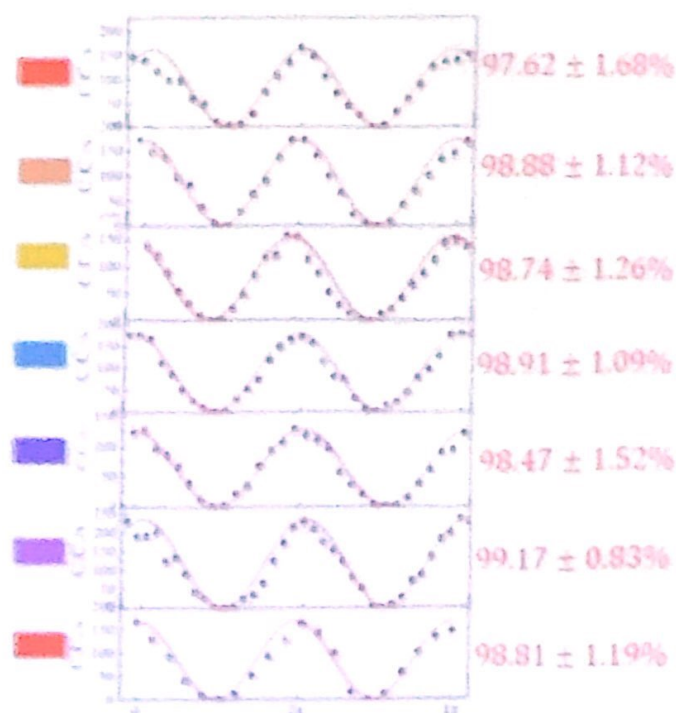
光子产率: 2.34×10^{11} Hz/mW

产率提高3个量级以上

复用维度: 9 (100+)

干涉可见度: > 97%

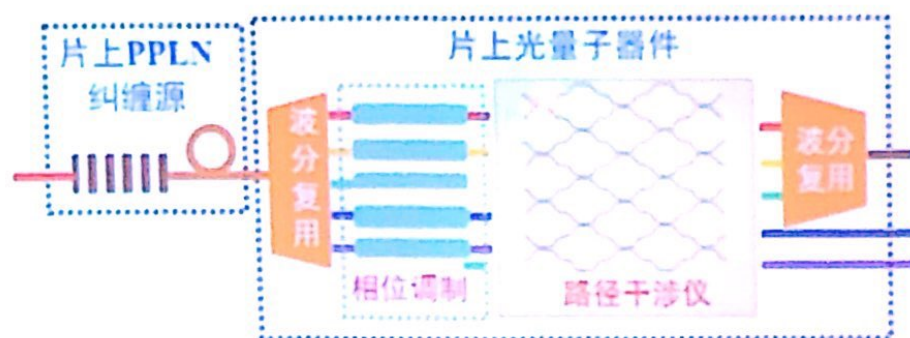
初步展示了高码率的铌酸锂薄膜光源
及其色散调控能力。



扫描全能王 创建

展望

——铌酸锂基有源光量子芯片



扫描全能王 创建